

фона рассеянного света. Можно думать, что при использовании приборов с большими дисперсиями и разрешающей силой наиболее интенсивные линии полосы (7,2) могут быть обнаружены и при зенитных расстояниях меньших  $99^\circ$ .

13. Зависимость числа и интенсивности наблюдаемых линий от зенитного расстояния Солнца, сформулированная выше (см. п. 6), дает основание предполагать, что в период сумерек ( $99^{\circ} < Z < 112^{\circ}$ ) интенсивность сплошного спектра в участке 6800—7000 ангс. убывает с ростом  $Z$  быстрее, чем интенсивность отдельных линий полосы (7,2). Это относится к линиям  $Q_1$ , 6863.9,  $p_2$ , 6912.0,  $P_1$ , 6920.6 и  $P_3$ , 6948.5.

Июль 1965.

ჰიდროელექტრის (7,2) ზოლის გამოკვლევა ბინდის  
ცის ნათების სეისტიკში

(୬୩୪୮)

ვამოკელულია ბინდში ჰილროქსილის (7,2) — ზოლი. შედეგები დამყარებულია 1964 წ. ოქტომბერ—1965 წ. იანვრის პერიოდის დაკაირგებებზე.

## THE INVESTIGATION OF OH (7.2) BAND IN THE TWILIGHT SKY SPECTRUM

T. G. NEGRELISHVILI, T. I. TOBOSHELIDZE AND L. A. KUMAISHVILI

### (Summary)

OH(7,2) band in the twilight sky spectrum obtained between October, 1964 January, 1965 is investigated.

#### ЦИТИРОВАННАЯ ЛИТЕРАТУРА

1. Мегрелишвили Т. Г., Торошелидзе Т. И. Новое гидроксильное излучение в спектре сумеречного неба. Астрон. Цирк. 1961, 225.
  2. Атлас спектра излучения ночного неба  $\lambda$  3000–12400 Å. ИФА АН СССР, Москва, 1962.
  3. Minnaert M., Mulders I. F. W., Hautgast I. Photometric Atlas of the Solar Spectrum. Amsterdam, 1940.
  4. Хвостиков И. А. Физика озонасферы и ионосферы. Изд. АН СССР. Москва, 1963.

Бюллетень Абастуманской астрофизической обсерватории № 34, 1966

# ОБ ИСПОЛЬЗОВАНИИ КАСКАДНЫХ ЭЛЕКТРОННО-ОПТИЧЕСКИХ ПРЕОБРАЗОВАТЕЛЕЙ ДЛЯ ИЗУЧЕНИЯ ИНФРАКРАСНОГО СВЕЧЕНИЯ ВЕРХНЕЙ АТМОСФЕРЫ

Т. И. ТОРОШЕЛИДЗЕ и Л. М. ФИШКОВА

Как известно, электронно-оптические преобразователи (ЭОП) нашли широкое применение в различных научных исследованиях. В настоящем сообщении кратко излагается методика использования каскадных ЭОП-ов для изучения свечения сумеречного и ночного неба в Абастуманской обсерватории.

В последнее время для исследования свечения верхних слоёв атмосферы Земли, наряду с хорошо оправдавшими себя контактными ЭОП-ами [1], начинают применяться каскадные ЭОП-ы. Отличительной чертой последних является высокий коэффициент преобразования — отношения выходящего с экрана потока к полному потоку, падающему на фотокатод [2]. Это свойство каскадных ЭОП-ов особенно важно для исследования очень слабых световых потоков, каким является, например, свечение ночного и сумеречного неба. Однако, использование каскадных ЭОП-ов связано с определенными трудностями. Для питания их требуется значительное напряжение порядка 30—60 киловольт и, следовательно, становится сложнее вопрос об изоляции. При возрастании коэффициента преобразования возрастают различные искажения изображения, а также шумы. К основным искажениям изображения относятся наблюдаемая часто подушкообразная дисторсия и низкое линейное разрешение. Что касается шумов, то для ЭОП-ов характерными являются автоэлектронная эмиссия с фотокатода и других деталей ЭОП-а, вторичная электронная эмиссия с катода под действием ионной бомбардировки, паразитная флюoresценция в результате рентгеновского тормозного излучения и, наконец, термоэлектронная эмиссия с фотокатода. Первые три источника темнового фона могут быть уменьшены или устранины либо конструктивными особенностями ЭОП-ов, либо, частично, подбором оптимального напряжения питания. Термоэлектронная эмиссия зависит от работы выхода фотокатода и температуры и может быть уменьшена охлаждением фотокатода. Особенно это относится к ЭОП-ам с оксидно-цециевым фотокатодом, термоэлектронная эмиссия которого во много раз превышает остальные шумы.

В работах по исследованию свечения сумеречного и ночного неба в инфракрасной области спектра, ведущихся в Абастуманской обсерватории при помощи светосильного спектрографа СП-50 [3], был использован двух-

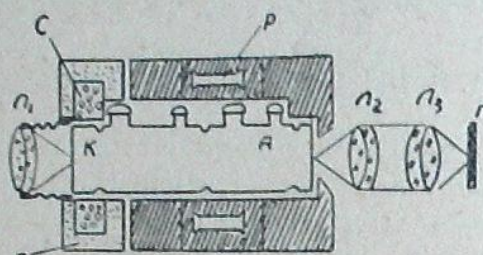
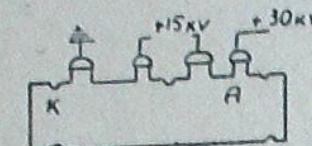
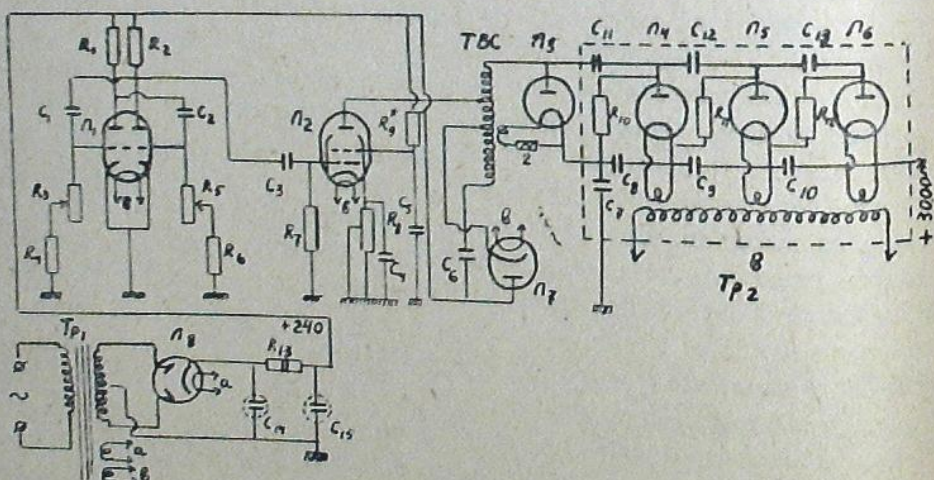


Рис. 1



$\mu_1$ -6Н4,  $\mu_2$ -EL-36,  $\mu_3$ - $\mu_6$ -14НП,  $\mu_7$ -6Ц10П,  $\mu_8$ -5ЦЧС;  $R_1+R_2=13\text{k}\Omega$ ,  $R_3+R_5=100\text{k}\Omega$ ,  $R_4=R_6=47\text{k}\Omega$ ,  $R_7=500\text{k}\Omega$ ,  $R_8=2.7\text{k}\Omega$ ,  $R_9=41\text{k}\Omega$ ,  $R_{10}=R_{11}=R_{12}=6.6\text{M}\Omega$ ,  $R_{13}=500$ ,  $C_1=C_2=510$ ,  $C_3=0.05$ ,  $C_4=0.1$ ,  $C_5=0.05$ ,  $C_6=0.1$ ,  $C_7=C_8=C_9+C_{10}=C_{11}+C_{12}=C_{13}=500$  ( $15\text{nF}$ ),  $C_{14}=C_{15}=10.0$ .

Рис. 2

камерный однокаскадный ЭОП с оксидно-цеизиевым фотокатодом. Схема питания ЭОП-а и схема всей приставки к спектрографу представлены на рис. 1. Здесь  $L_1$  — объектив камеры спектрографа СП-50,  $L_2$  и  $L_3$  — объективы перебрасывающей оптики, цереносящие усиленное изображение спектра с люминесцентного экрана на фотографическую пленку II. Для охлаждения фотокатода использовалась твердая углекислота, которая насыщается в холодильник  $C$ , окруженный теплоизолатором  $T$ , изготовленным из пенопласти или войлока. Теплоизолатор увеличивает сохраняемость охлаждающего вещества, а также предохраняет от замораживания остальную часть ЭОП-а; сильное охлаждение анода может привести к уменьшению светоотдачи экрана. При охлаждении фотокатода происходит запотевание торцевого окна. Для устранения запотевания обычно перед фотокатодом устанавливается вакуумное окно [1]. Однако в нашем случае объектив камеры спектрографа и фотокатод ЭОП-а соединялись резиновой трубкой, причем места соединения густо смазывались вазелином. Такой герметизации оказалось достаточно для полного устранения запотевания при охлаждении фотокатода. При работе с каскадным ЭОП-ом требуется надежная изоляция подводимого к выводам ЭОП-а высокого напряжения. С этой целью весь корпус ЭОП-а был помещен в цилиндрический кожух из оргстекла, причем для усиления изоляции пространство между корпусом ЭОП-а и кожухом заливалось расплавленным вазелином. Надежность изоляции была проверена с помощью щупа — эbonитового стержня с острым заземленным наконечником — который подносился к собранному блоку, находящемуся под максимальным напряжением, последовательно ко всем деталям. Места пробоев очищались спиртом и замазывались вазелином. Все это позволило создать надежную изоляцию и свести к минимуму утечки напряжения. В корпус изолатора вмонтирован высокоомный делитель напряжения общим сопротивлением 12 Гом, который также тщательно заливается вазелином. Питание системы осуществлялось через высоковольтный кабель типа ПВЛЭ с заземленным экраном, причем, на расстоянии 60—70 мм от места соединения экран снимался и оставлялся только резиновая изоляция, что также значительно снизило утечку напряжения. При монтаже приставки использовался оголенный гибкий провод, который припаивался к выводам ЭОП-а, что улучшает надежность контактов, однако при пайке следует избегать сильного нагревания выводов ЭОП-а, так как это может привести к его поломке. Перед установкой ЭОП-а в прибор его торцевые оптические стекла должны быть протерты безворсной, смоченной спиртом тканью.

В начале работы ЭОП-а при недостаточном охлаждении фотокатода, если наблюдать визуально люминесцирующий экран, можно заметить отдельные, достаточно яркие вспышки, которые могут дать темные пятна на экспонируемом спектре. При дальнейшем охлаждении фотокатода спустя 40<sup>м</sup> это явление исчезает, поэтому начинать съемку рекомендуется после хорошего часового охлаждения.

Часто при наличии интенсивного спектра свечения и максимальном напряжении в центре экрана наблюдается слабое пятно, являющееся, воз-

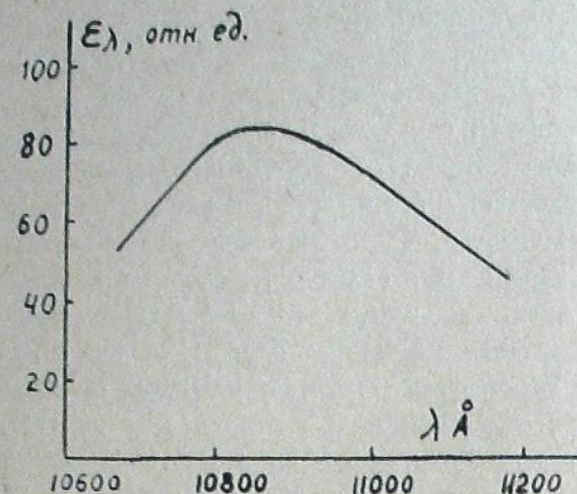


Рис. 3.

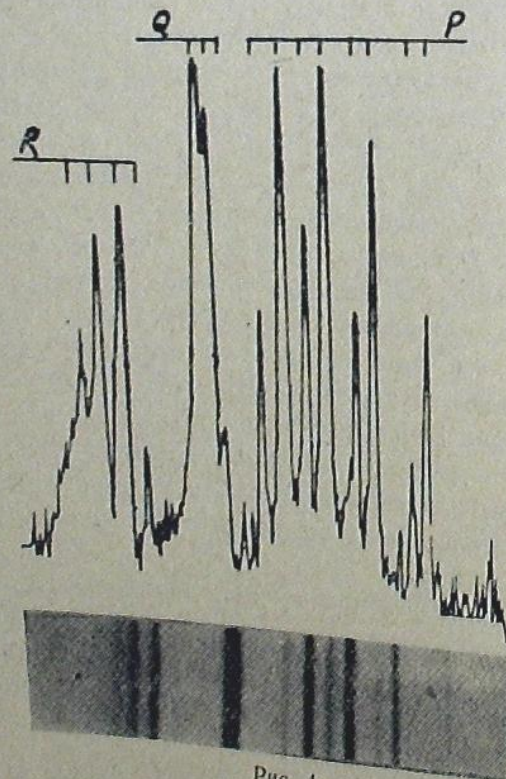


Рис. 4.

жно, результатом автоэлектронной эмиссии либо влиянием ионизации остаточного газа. При возможности выбора ЭОП-ов желательно отбирать их по признаку отсутствия этого пятна, так как оно уменьшает чистоту изображения и вносит дополнительные трудности при спектрофотометрировании.

Для питания двухкамерного ЭОП-а необходимо напряжение  $\sim 30$  киловольт при потребляемом токе  $\sim 30$  микроампер. Обеспечивающий эти условия генератор высокого напряжения был собран, в основном, по схеме, разработанной в Институте физики атмосферы АН СССР, с некоторыми изменениями, которые были внесены в процессе наладки (см. рис. 2). Схема состоит из симметричного мультивибратора на двойном триоде 6Н8, высоковольтного трансформатора ТВС, являющегося анодной нагрузкой лучевого тетрода EL-36, демпфирующего диода 6Ц10П и высоковольтного выпрямителя на накальных кенотронах 1Ц11П, собранного по параллельной схеме учетверения напряжения. Генератор питается от сети через стабилизатор СН-500. Регулировка мультивибратора производится изменением сопротивлений  $R_3$  и  $R_5$  в цепи сетки  $L_1$ , а регулировка выходного напряжения — изменением сопротивления  $R_8$  в катоде  $L_1$ . Первый кенotron  $L_2$  входит в схему ТВС, накал трех остальных кенотронов  $L_4$ ,  $L_5$  и  $L_6$  подается отдельного понижающего трансформатора  $T_{P_2}$ . Применение накальных кенотронов в блоке высоковольтного выпрямителя обеспечивает достаточно большую мощность, а стало быть и достаточно стабильную работу генератора. В целях сохранения высокой изоляции трансформатор  $T_{P_2}$ , кенотроны  $L_4$ — $L_6$ , сопротивления  $R_{10}$ — $R_{12}$ , конденсаторы  $C_7$ — $C_{13}$  помещаются в отдельном блоке из оргстекла и заливаются чистым расплавленным вазелином. Технический вазелин обладает высокими изолирующими свойствами и при застывании не оставляет пустот, что исключает возможность пробоя и утечки внутри выпрямителя. Генератор выдает напряжение  $U_{\text{вых}} > 30$  киловольт. Для питания двухкамерного ЭОП-а достаточно 28,5—29,5 киловольт. Напряжение контролируется электростатическим вольтметром С-96. Для соединения ТВС с высоковольтным выпрямителем и генератора с вольтметром используется высокочастотный кабель РК-1, с которого, во избежание утечки, снят чехол и экран. Для защиты от влажности окружающего воздуха генератор и вольтметр помещены в герметичный ящик, обитый внутри асбестом, в ящике имеется нагревательная спираль для осушки. Все описанные предосторожности обеспечивают длительную стабильную работу генератора. После непрерывной работы в течение 12 часов на открытой площадке изменение выходного напряжения не превышает 1%.

Описанная приставка с двухкамерным ЭОП-ом работает в Абастуманской обсерватории в соединении со светосильным спектрографом СП-50 с февраля 1964 года и служит для съемки спектров свечения сумеречного и ночного неба в области спектра около 10000—11000 ангстрем. На рис. 4 приводятся спектрограмма и регистрограмма спектра свечения ночного неба в области 10600—11100 ангстрем, а именно, эмиссионная полоса атмосферного гидроксила OH (5—2). Спектр получен в ночь с 4—5 января

1965 г. с экспозицией 1 час. Съемка производилась на ортохроматической пленке А-600 (Казанский филиал ЦИКФИ), чувствительность которой после 50<sup>м</sup> экспозиции составляет 45 ед. ГОСТ-а. Направление съемки  $\approx 67^\circ N$ . В этом направлении средняя за время экспозиции интенсивность полосы OH (б-2), измеренная в эту же ночь при помощи прокалиброванного электрофотометра [4], составила 16000 рэлей (или  $\sim 3 \times 10^{-2}$  эрг/см<sup>2</sup> сек стерад.). Для того, чтобы получить при таком световом потоке спектр такого же качества при помощи однокамерного ЭОП-а понадобилась бы экспозиция не менее 10 часов, а при помощи контактного — не менее 3 часов. При этом для съемки с однокамерным или контактным ЭОП-ом пленку необходимо ещечувствовать к длительным экспозициям путем дополнительной подсветки перед экспозицией, в то время как съемка спектра рис. 4, выполненная с каскадным ЭОП-ом, не потребовала дополнительного чувствования. Таким образом, применение каскадного ЭОП-а дает значительный выигрыш в чувствительности метода. Так же из рис. 4 видно, что упомянутая выше дисторсия не столь велика, чтобы помешать обработке полученного спектра, а темновой фон после охлаждения исчезает полностью. Для съемки спектров свечения сумеречного неба на описанной установке достаточно экспозиции от 1<sup>м</sup> до 40<sup>м</sup> в зависимости от времени сумерек.

На рис. 3 приводится спектральная характеристика всей установки (спектральная чувствительность фотокатода ЭОП-а плюс поглощение в спектрографе и в перебрасывающей оптике). Она определялась по сплошному спектру калиброванной ленточной лампы с известной цветовой температурой  $T_c = 2850^\circ K$ .

В заключение следует отметить, что важным и сложным вопросом является послесвечение экрана каскадного ЭОП-а. Это явление и влияние его на качество полученных спектров изучается в данное время в Абастуманской обсерватории и послужит материалом следующего сообщения.

Авторы считают своим приятным долгом выразить глубокую благодарность старшему научному сотруднику Института физики атмосферы АН СССР Н. И. Федоровой за большую помощь и ценные советы при сборке описанной установки.

Сентябрь, 1965.

ქადაგური ელექტრობულ-თაბიდური გარემონტების  
გამოყენების შესახვების გეგმის ამოცავების ინტერაციით  
ნათები შესაფავლად  
თ. ტოშელიძე და ლ. ფიშკოვა

ON THE USE OF CASCADE ELECTRON-IMAGE CONVERTERS  
FOR THE UPPER ATMOSPHERE INFRARED LUMINESCENCE  
T. I. TOROSHELIDZE AND L. M. FISHKOVA

## ЦИТИРОВАННАЯ ЛИТЕРАТУРА

1. Щеглов П. В. Электронная телескопия. 1963.
2. Каскадные электроннооптические преобразователи и их применение. Сборник статей, 1965.
3. Герасимов Н. Г., Яковлева А. В. Комплекс светосильных спектрографов с дифракционными решетками. Приборы и техника эксперимента, 1956. № 1, 83—86.
4. Фишкова Л. М. Наблюдения инфракрасных полос OH свечения ночного неба при помощи регистрирующего электрофотометра. Бюлл. абастум. астрофиз. обс. 1966, № 31, 45.